

泉州市 2022 届高中毕业班质量监测（一）

2021.08

高三地理

本试题卷共 6 页。全卷满分 100 分。考试用时 75 分钟。

注意事项：

1. 本试题卷分第 I 卷（选择题）和第 II 卷（非选择题）两部分。答卷前，考生务必将自己的姓名、准考证号填写在答题卡上。
2. 回答第 I 卷时，选出每小题答案后，用 2B 铅笔把答题卡上相对应题目的标号涂黑。如需改动，用橡皮擦干净后，再选涂其它答案标号。写在试题卷、草稿纸和答题卡上的非答题区域均无效。
3. 回答第 II 卷时，使用 0.5 毫米的黑色中性（签字）笔或碳素笔书写，将答案写在答题卡的相应位置上。写在试题卷、草稿纸和答题卡上的非答题区域均无效。
4. 保持答题卡卡面清洁，不折叠，不破损。

第 I 卷（选择题 共 48 分）

一、选择题共 16 小题，每小题 3 分。在每小题给出的四个选项中，只有一项是最符合题目要求的。

截至 2020 年 10 月，包含在日外国人在内的日本人口为 1.26 亿人。与 2015 年相比，日本人口减少 0.7%，减少幅度较小。图 1 示意 1950~2060 年日本人口变化趋势。据此完成 1~2 题。

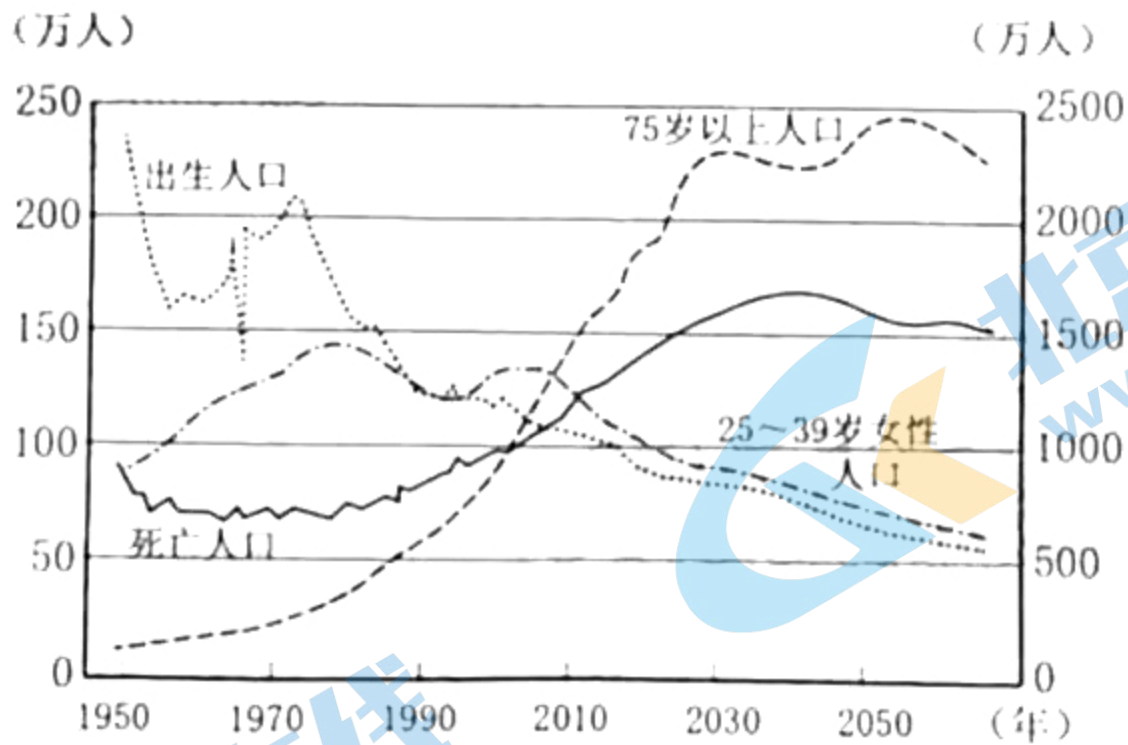
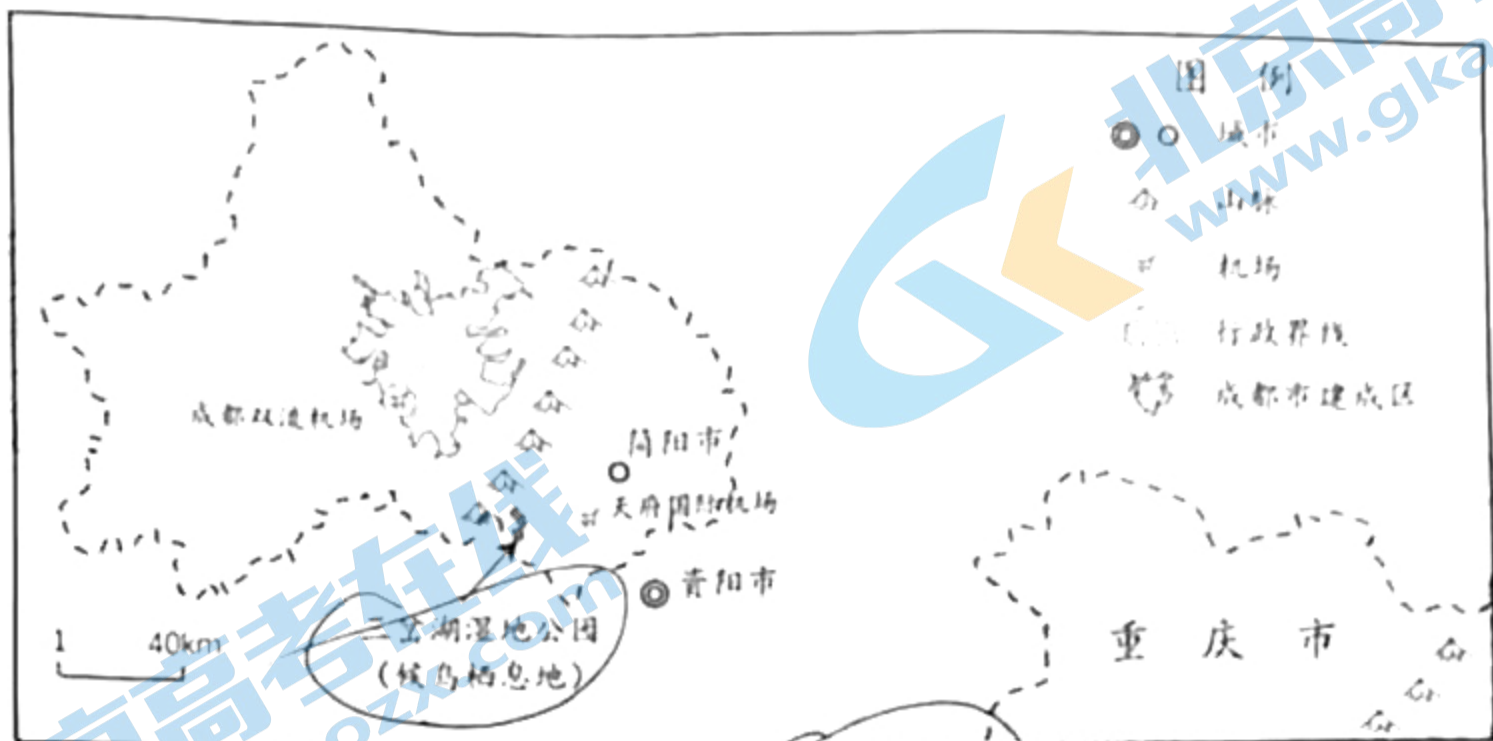


图 1

1. 推测 1970~1975 年间，日本出生人口迅速增加是因为
  - A. 经济增长迅速
  - B. 医疗卫生改善
  - C. 人口增长惯性
  - D. 性别比例失衡
2. 与 2015 年相比，2020 年日本人口减少幅度较小的原因是
  - A. 政府鼓励生育
  - B. 人均寿命延长
  - C. 人口结构年轻
  - D. 外来人口增多

近年来，成都双流机场的旅客吞吐量年均增长率接近两位数。2019 年 12 月 31 日，双流机场全面完成扩能改造工程，可保证 6000 万旅客/年的吞吐能力。2021 年 6 月 27 日，天府国际机场正式投入使用，成都开启了双机场模式，成为推动成渝地区双城经济圈建设的重要支撑。图 2 示意天府国际机场周边区域。据此完成 3~5 题。



注：成都双流机场 2019 年运量及全国排位为  $\frac{5586 \text{ 万人次} (4)}{67.19 \text{ 万吨} (6)}$  年旅客吞吐量 (全国排位)  
 货邮吞吐量 (全国排位)

图 2

3. 成都建设天府国际机场的直接原因是

- A. 国际地位提升迅速 B. 双流机场潜力有限 C. 一带一路政策支持 D. 临空经济发展需求

4. 天府国际机场选址在远离成都市区的东南部，主要目的是

- A. 辐射区域发展 B. 减少占用农地 C. 提高设计能力 D. 降低噪声污染

5. 与原设计选址相比，天府国际机场最终向东移动了约 3 公里的主要原因是

- A. 预留拓展空间 B. 完善交通网络 C. 保护生态环境 D. 降低投资造价

与 2019 年相比，我国 2020 年水资源总量增加 8.60%，用水总量减少 208.3 亿  $m^3$ ，工农业及生活用水减少了 265.7 亿  $m^3$ ，水资源利用结构更加优化，生态环境明显好转。图 3 示意我国 1997~2020 年的水资源利用情况。据此完成 6~7 题。

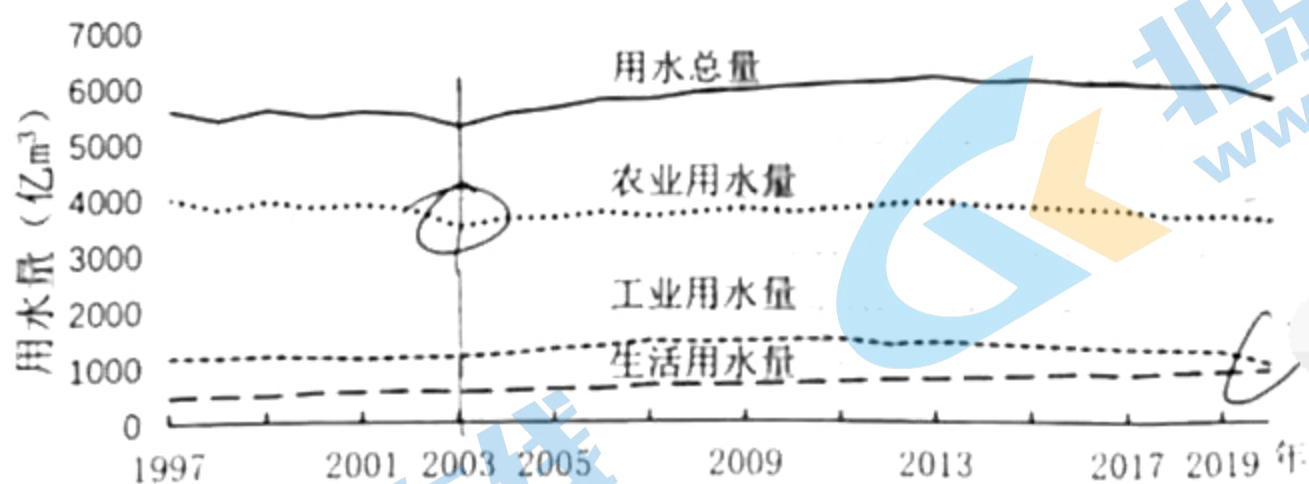


图 3

6. 据图推测 2003 年我国

- A. 降水总量较 2002 年增多 B. 河湖水质明显改善  
 C. 北方旱情较 2002 年严重 D. 节水技术迅速普及

7. 2020 年全国用水总量减少值小于工农业及生活用水减少值，其原因可能是

- A. 生态环境补水增加 B. 植被截留水量增加  
 C. 废水回收效率提高 D. 再生用水得到普及

受“热穹顶”的影响，2021年6月底，一向冬不冷夏不热的美国西北部与加拿大西南部不约而同地遭遇了极端高温天气，部分地区出现49℃的历史最高温。图4示意“热穹顶”的形成原理，图5示意北美受“热穹顶”影响范围。据此完成8~10题。

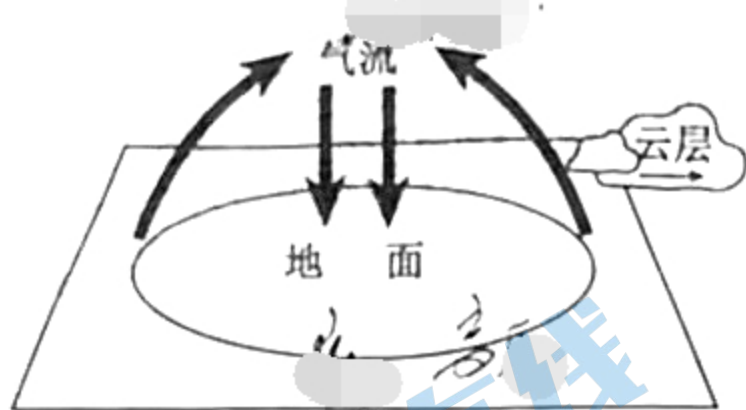


图4

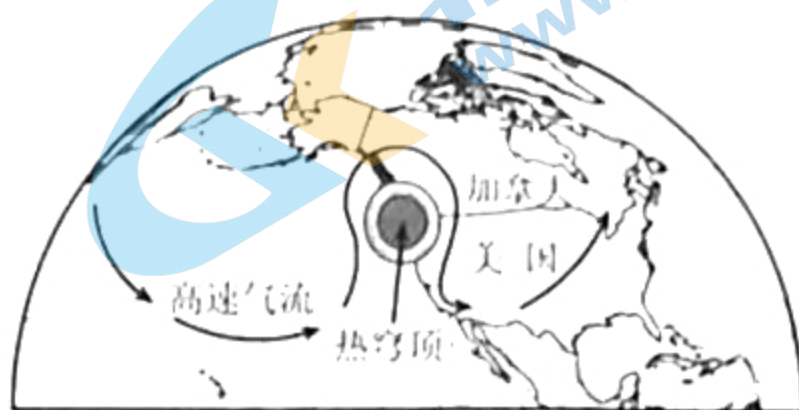


图5

8. 从形成原理看，与“热穹顶”最为相似的气压带是
- A. 赤道低气压带 B. 副热带高气压带 C. 副极地低气压带 D. 极地高气压带
9. 受“热穹顶”影响的区域易形成极端高温的原因是
- ①太阳高度大 ②气流下沉增温 ③气流受热抬升 ④冷空气受排斥
- A. ①② B. ①③ C. ②③ D. ②④
10. 随着“热穹顶”东移，专家预测美加两国的农业生产将受严重影响。受“热穹顶”影响最大的农作物是
- A. 冬小麦 B. 春小麦 C. 棉花 D. 水稻

白河是黄河的一级支流，蜿蜒曲折，河床宽阔、起伏小，河湾迁移较明显。某科研团队于在白河中游某河段进行河湾演变调查，发现当地河湾基本无人干扰。该河段凸岸依次发育有多种植被，弯顶处为面积较大的砾石边滩，上覆砾石和淤泥。图6示意该河段不同植被分布。据此完成11~13题。

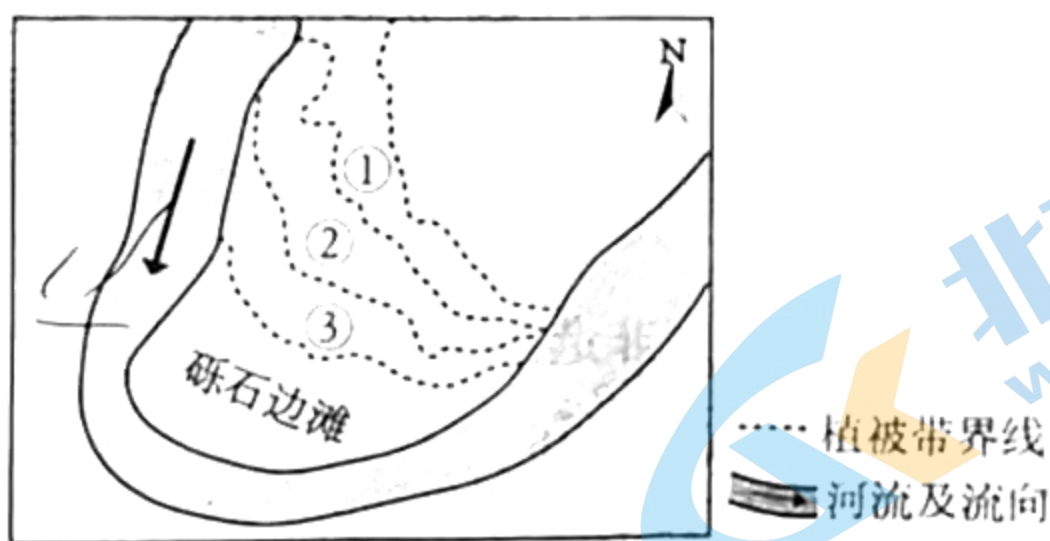


图6

11. 图中①②③植被分别是
- A. 密集草本、灌木、稀疏草本 B. 灌木、密集草本、稀疏草本
- C. 稀疏草本、灌木、密集草本 D. 稀疏草本、密集草本、灌木
12. 调查发现灌木植被由西南向东北树龄逐渐增加，其主要原因是凸岸
- A. 向西南方向淤进 B. 向东北方向淤进
- C. 西南易受洪水淹没 D. 东北受人为破坏小
13. 科研团队分别测量砾石边滩边缘至不同树龄灌木带的距离，可以推测
- A. 河岸抬升速度 B. 植被演替速度 C. 凹岸侵蚀速度 D. 河湾迁移速度

丹霞梧桐主要分布于南岭丹霞地貌区，属于落叶小乔木，每年夏初开紫花，秋季叶子变黄。现存株数不多，是国家Ⅱ级重点保护野生植物。某科考小组对狮子岩—阳元山周边区域丹霞梧桐展开调查。图7示意调查区域内野生丹霞梧桐植株分布。据此完成14~16题。

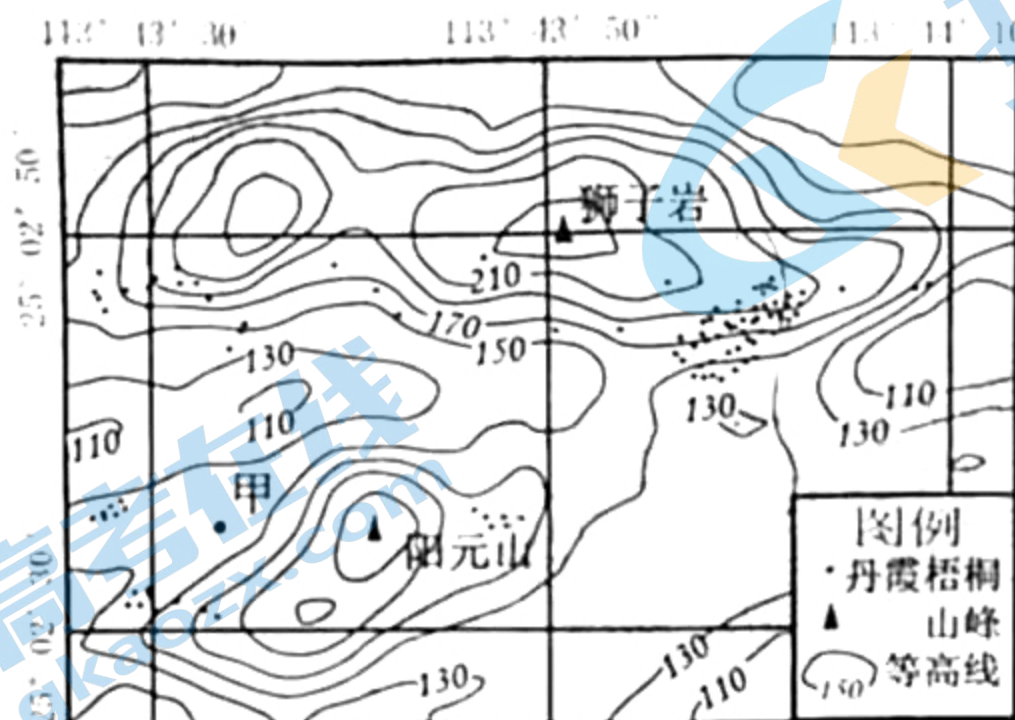


图7

14. 秋分日晴空万里，某考察队员在甲地看到了清晨第一缕阳光，此时太阳最可能位于
- A. 正东方向      B. 东北方向      C. 东南方向      D. 正南方向
15. 由于种间竞争，山麓丹霞梧桐种子众多但植株分布远少于崖壁，其主要原因是山麓
- A. 土壤水分充足      B. 土壤侵蚀严重      C. 光照时间不足      D. 众多鸟类啄食
16. 利用无人机对丹霞梧桐进行识别和定位，为降低误差应该选择
- ①黄昏时刻      ②正午时刻      ③1月      ④10月
- A. ①③      B. ②③      C. ②④      D. ①④

## 第Ⅱ卷(非选择题，共52分)

二、非选择题共3大题，共52分。

17. 阅读图文资料，完成下列要求。(20分)

中亚的W国是“一带一路”沿线的重要国家，种桑养蚕历史悠久，产量、产值在其国内仅次于棉花，位居第二。受气候条件和夏秋季棉花种植占用劳动力等因素的影响，W国每年只在4~5月养一期蚕。因生产技术与设施落后，W国的蚕茧质量较低。

近十几年来，我国江南地区的桑蚕业逐渐萎缩，蚕茧品质下降，优质蚕茧需要到四川、广西等地采购。随着我国与W国合作逐渐深入，江南地区开始从W国进口蚕丝，W国则从江南地区大量采购桑苗与蚕种。图8示意W国发展桑蚕养殖业的州(省)分布。

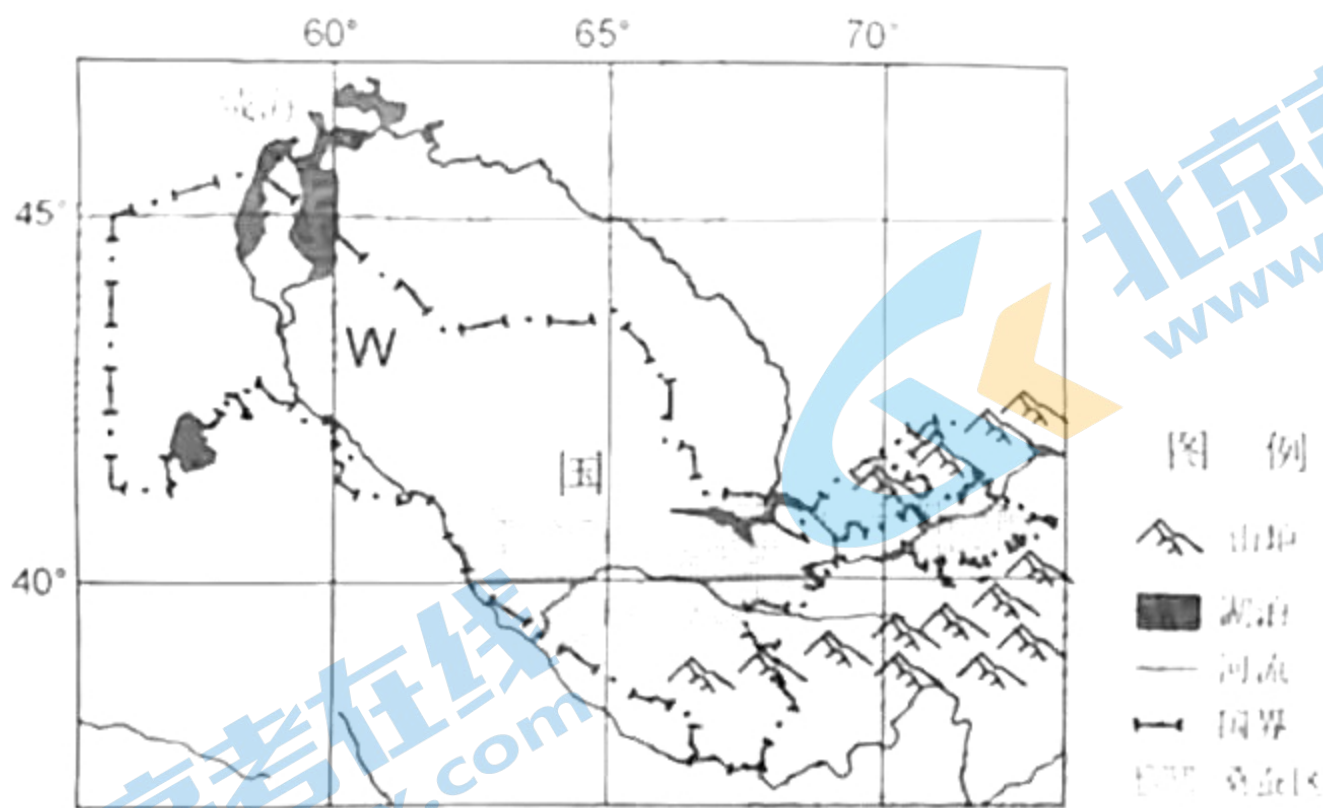


图 8

- (1) 描述 W 国桑蚕养殖业的分布特点，并指出相较于其他州，桑蚕区有利于桑树种植的自然条件。(4 分)
- (2) 分析我国江南地区桑蚕业萎缩的主要原因。(6 分)
- (3) 说明 W 国从我国江南地区大量采购桑苗与蚕种对江南地区桑蚕业发展的影响。(6 分)

浙江某企业发明了“工厂化养蚕”，使用桑叶、桑枝、玉米等材料制作饲料用于养蚕，大幅减少桑叶消耗，实现了高密度饲养、全年饲养，满足了当地优质蚕茧的需要。

- (4) 有人认为，与到 W 国采购蚕丝相比，江南地区发展“工厂化养蚕”更有利于当地丝绸业的发展。对这一观点你是否赞同，说明理由。(4 分)

18. 阅读图文资料，完成下列要求。(22 分)

美国西部 Z 国家公园发育典型的红层（红色砂砾岩）地貌。三叠纪末期（距今 2 亿年前），由于地壳运动北美西海岸火山岛弧链与古落基山脉之间形成了一个大型盆地，开始接受陆相沉积。中侏罗纪（距今 1.4-2 亿年前）期间，北美大陆漂移至副热带地区，造山运动使盆地气候发生变化，形成广袤的沙漠。白垩纪末期（距今 6500 万年前）北美西部高原抬升，流水沿着岩石节理（断裂）裂隙强烈下切。现今，Z 国家地质公园地貌景观整体表现为高原—深切峡谷。图 9 示意 Z 国家公园位置及 N 河流北、中、南三段横剖面。

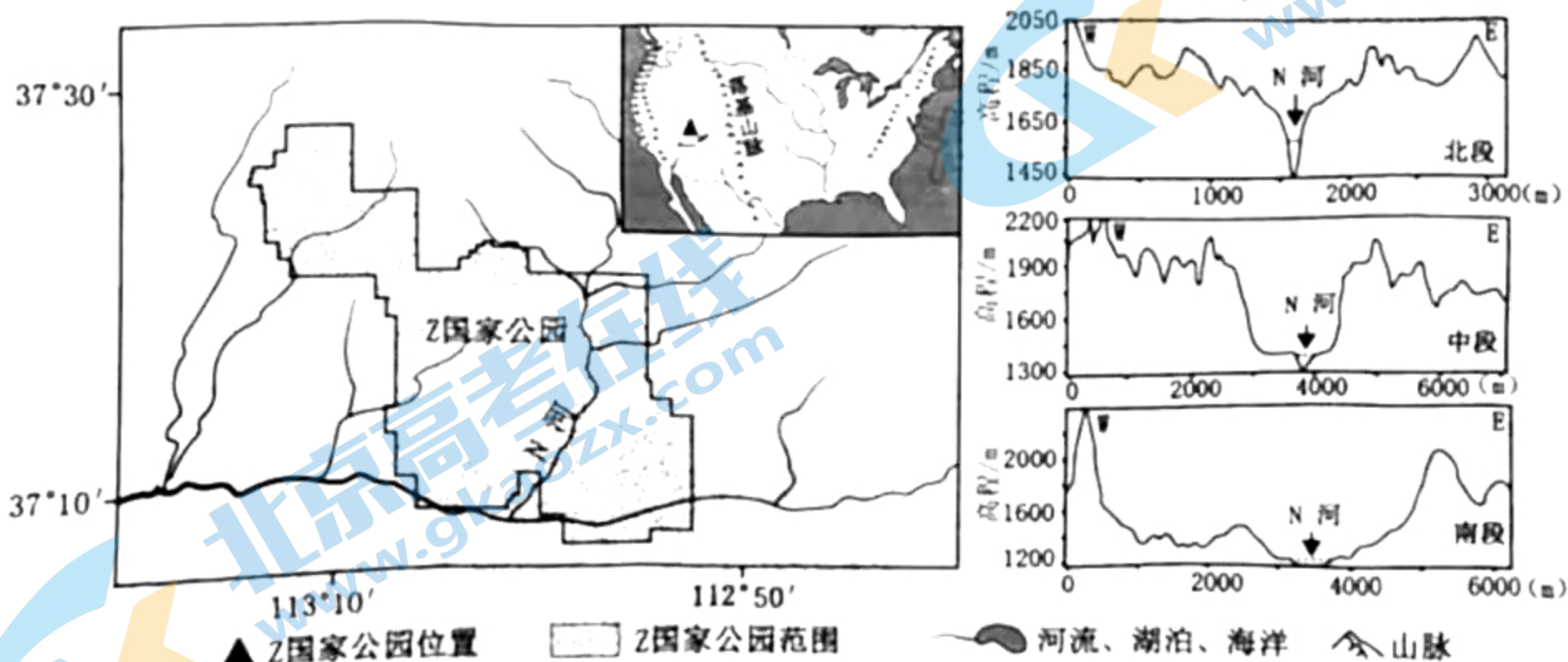


图 9

- (1) 描述 Z 国家公园红层地貌高原—深切峡谷景观形成的主要地质过程。(8 分)
- (2) 推测中侏罗纪期间干旱气候环境的成因。(4 分)
- (3) 分别指出 N 河流的北、中、南峡谷主要的流水侵蚀作用类型，并说明判断依据。(6 分)
- (4) 若当地的地壳和气候条件均保持稳定，而河流持续侵蚀，推测 Z 国家公园的高原—深切峡谷地貌景观演变趋势。(4 分)

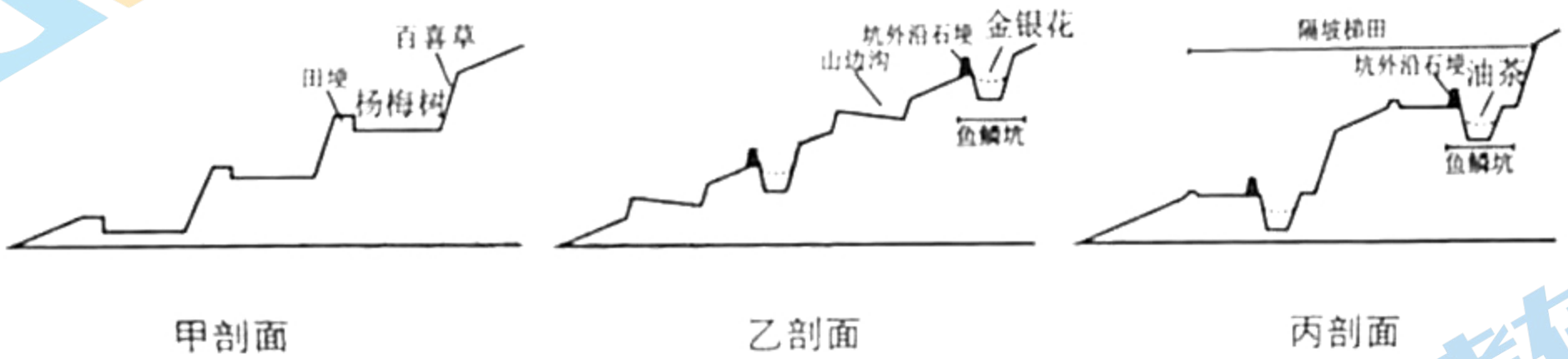
19. 阅读图文资料，完成下列要求。(10 分)

某研究小组在 N 县通过调控水土流失的影响因素进行科学实验，在野外布设了 4 个标准实验区进行实验，规格均为 20m×5m，各区分别实验不同的水土保持措施。表 1 为相应的实验结果。

表 1 水土保持实验数据

实验小区	水土保持措施(模式)	实验结果(土壤性质)指标排序			
		土壤侵蚀程度	氮含量	磷含量	钾含量
甲	梯田·杨梅·百喜草	3	2	3	3
乙	山边沟·鱼鳞坑·金银花	1	4	4	4
丙	隔坡梯田·鱼鳞坑·油茶	2	3	2	2
丁	无水土保持措施的裸地	4	1	1	1

注：实验结果中的各项指标排序，由 1—4 逐渐增强。



- (1) 根据实验结果，指出水土保持措施最优模式及其调控的自然要素。(6 分)
- (2) 图 10 示意某梯田区等高线，据图绘制 AB 间的地形剖面图。(4 分)

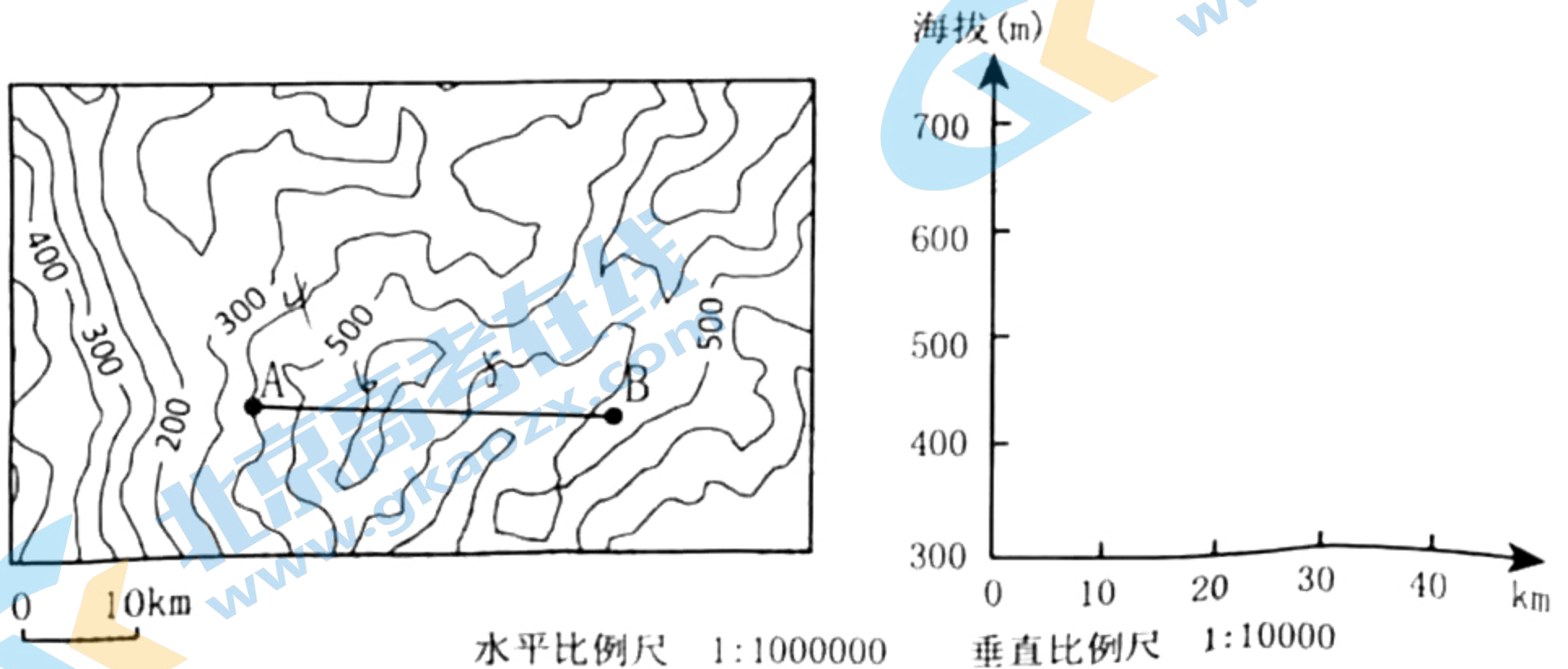


图 10

# 泉州市 2022 届高中毕业班质量监测 (一)

## 参考答案 评分细则

2021.08

### 第 I 卷(选择题 共 48 分)

一、选择题共 16 小题, 每小题 3 分。在每小题给出的四个选项中, 只有一项是最符合题目要求的。

1. C 2. D 3. B 4. A 5. C 6. A 7. A 8. B 9. D 10. B

11. B 12. A 13. D 14. C 15. A 16. C

### 第 II 卷(综合题, 共 52 分)

二、非选择题共 3 大题, 共 52 分。

17. (20 分)

(1) 描述 W 国桑蚕养殖业的分布特点, 并指出相较于其他州, 桑蚕区有利于桑树种植的自然条件。(4 分)

**1 分布特点:** 主要分布于 W 国东(南)部, 有大河流经的平原地区(2 分)

方位 1 分 地形 1 分 方位+地形特点 2 分

(回答“主要分布于 40° N 纬线附近, 或分布于南部(纬度较低)的地区”得 1 分)

**2 自然条件:** 桑蚕区地形平坦, 有灌溉水源, 土壤较肥沃(2 分)

地形, 水源, 土壤。 1 点 1 分 答 2 点 2 分。

(2) 分析我国江南地区桑蚕业萎缩的主要原因。(6 分)

随着江南地区城市化与工业化的发展,

(只答城市化和工业化发展 1 分, 或产业结构调整 1 分)

①江南地区的农业用地减少;(2 分)

【或城市与工业发展占用农业土地】

【或桑蚕种植用地规模缩减, 或桑树种植规模减小】

②劳动力价格与土地价格上涨;(2 分)

【或桑蚕业从业人员减少】

【或劳动力成本增加, 或土地成本增加】

③受中西部地区桑蚕业的冲击。(2 分)

【或其他区域桑蚕业竞争力增强】

(3) 说明 W 国从我国江南地区大量采购桑苗与蚕种对江南地区桑蚕业发展的影响。(6 分)

①**产品市场:** 为桑苗与蚕茧提供了较大的市场;(2 分)

②**产业规模:** 扩大江南地区桑苗种植与蚕茧养殖生产规模(2 分)

【或桑苗与蚕种生产增强专业化与规模化】;

【增加了桑蚕业的利润率, 有利于桑蚕业投入再生产】。

③**产品质量:** 促使江南地区桑蚕业提高桑苗和蚕茧的品质(2 分)

【或有利于桑苗与蚕种的保护与培育】;

④**产业转型:** 向生物技术等高新技术产业发展;(2 分)

【或向技术服务业转型】;

【或有利于桑蚕业生产技艺的传承与发展】

(4) 有人认为, 与到 W 国采购蚕丝相比, 江南地区发展“工厂化养蚕”更有利于当地丝绸业的发展。

对这一观点你是否赞同, 说明理由。(4 分)

赞同: 1 点 2 分, 答出其中 2 点 4 分。

- ① **原材料品质**: 工厂化生产能够取得更优质的蚕茧, 保障原料质量; (蚕茧质量好)
- ② **原材料运输成本**: 就近采购能降低丝绸企业的采购(运输)成本。(采购成本低)
- ③ **产业集聚与协作**: 产业空间距离近, 方便上下游企业的技术合作, 提升丝绸企业产品的质量; (方便企业生产与技术协作)

不赞同: 1 点 2 分, 答出其中 2 点 4 分。

- ① **原材料劳动力成本**: W 国土地与劳动力价格较低, 能够提供更低价格的蚕丝; (W 国蚕丝价格低)
- ② **原材料产量规模**: W 国土地资源丰富, 蚕丝规模较大, 更能够满足江南地区的需求; (W 国蚕丝产量大)
- ③ **原材料运输成本**: 随着交通运输与商业贸易的发展, 江南地区赴 W 国采购蚕丝的成本能够逐渐降低; (采购成本可降低)

18. (22 分)

(1) 描述 Z 国家公园红层地貌高原—深切峡谷景观形成的主要地质过程。(8 分)

(1) (8 分) 1 个步骤 2 分, 4 个步骤 8 分。

- ① 板块碰撞挤压形成内陆盆地; (2 分)
- ② 盆地堆积形成红色岩层(沉积岩); (2 分)
- ③ 地壳整体抬升形成高原; (2 分)
- ④ 流水沿节理下切侵蚀形成峡谷; (2 分)

(2) 推测中侏罗纪期间干旱气候环境的成因。(4 分)

(2) (4 分)

- ① 形成大型的岛弧链后的内陆盆地受副热带高压控制, 降水少, 蒸发旺盛; (1 分)
  - ② 侏罗纪期间造山运动使海岸山脉隆起; (1 分)
  - ③ 阻挡海洋水汽; (1 分)
  - ④ 盆地处在背风坡; (1 分)
- 降水稀少。

(3) (6 分)

(3) 分别指出 N 河流的北、中、南峡谷主要的流水侵蚀作用类型, 并说明判断依据。(6 分)

- ① 北: 下蚀 (1 分); 河谷呈深切的“V”型河谷; (1 分)
- ② 中: 下蚀和侧蚀 (1 分); 河谷展宽, 河床(河槽)依然呈现“V”型; (1 分)
- ③ 南: 侧蚀 (1 分); 河谷宽广, 呈“U”型槽谷; (1 分)

(4) 若当地的地壳和气候条件均保持稳定, 而河流持续侵蚀, 推测 Z 国家公园的高原—深切峡谷地貌景观演变趋势。(4 分)

(4) (4 分)

- ① 公园的平均海拔下降; (1 分)
- ② 高原面积减小; (1 分)
- ③ 峡谷增多; (1 分)
- ④ 地表更加破碎, 直至高原—深切峡谷景观消失; (1 分)



19 (10分)

(1) 据实验结果，指出水土保持措施最优模式及其调控的自然要素。(6分)

① 模式： 乙模式【或山边沟+鱼鳞坑+金银花 模式】 (2分)

② 调控自然要素：地表植被

微观地表(地貌)形态

【地形部位、坡面坡度、或坡面建坑、坡面边沟、坡面梯状分层边沟】

坡地水文【或地表径流或坡面径流】等影响因素。

3点答2点，答出2点得4分

(2) (4分)

以下4处绘图关键点 1点1分

